

$$3) |e_{\alpha}, \sigma\rangle = \sum_{\beta, \gamma} \langle \beta, \gamma | e_{\alpha}; \sigma \rangle |\beta, \gamma\rangle = \sum_{\beta, \gamma} (db^{(\beta\gamma)})_{\alpha\sigma} |\beta, \gamma\rangle$$

$$\text{Or } T^{(\beta)\alpha} = T^{(\epsilon)\alpha} \otimes 1 + 1 \otimes T^{(\sigma)\alpha}$$

$$\text{donc } \langle \beta, \gamma | T^{\alpha} |e_{\alpha}, \sigma\rangle = \sum_{\beta', \gamma'} \langle \beta, \gamma | T^{\alpha} |\beta', \gamma'\rangle (db^{(\beta\gamma')})_{\alpha\sigma}$$

$$= \sum_{\beta', \gamma'} T_{\beta\beta'}^{(\beta)\alpha} (db^{(\beta\gamma')})_{\alpha\sigma}$$

$$= \langle \beta, \gamma | e_{\alpha}; \sigma, \beta \rangle \langle e_{\alpha} | T^{\alpha} |e_{\alpha}\rangle + \langle \beta, \gamma | e_{\alpha}; \sigma, \beta' \rangle \langle \sigma, \beta' | T^{\alpha} |e_{\alpha}\rangle$$

$$= \sum_{\beta'} (db^{(\beta\beta')})_{\alpha\sigma} (T^{(\epsilon)\alpha})_{\alpha\alpha} + \sum_{\beta'} (db^{(\beta\beta')})_{\alpha\sigma} (T^{(\sigma)\alpha})_{\beta'\beta} \quad (6)$$

Soit encore, par antisymétrie sur T :

$$\sum_{\beta'} T_{\beta\beta'}^{(\epsilon)\alpha} (db^{(\beta\beta')})_{\alpha\sigma} = - \sum_{\beta'} T_{\alpha\beta'}^{(\epsilon)\alpha} (db^{(\beta\beta')})_{\alpha\sigma} + \sum_{\beta'} (db^{(\beta\beta')})_{\alpha\sigma} (T^{(\sigma)\alpha})_{\beta'\beta}$$

qui s'écrit matriciellement :

$$\| \sum_{\beta'} T_{\beta\beta'}^{(\epsilon)\alpha} db^{(\beta\beta')} = - T^{(\epsilon)\alpha} db^{(\beta\beta')} + db^{(\beta\beta')} T^{(\sigma)\alpha} \quad (7)$$

$$4) X_{\alpha\sigma; \alpha'\beta'} = - \sum_{\beta, \gamma} (db^{(\beta\gamma)})_{\alpha\sigma} \left(T^{(\epsilon)\alpha} db^{(\beta\gamma)} T^{(\sigma)\alpha} \right)_{\alpha'\beta'}$$

$$\text{partant de } T^{(\epsilon)\alpha} db^{(\beta\gamma)} = db^{(\beta\gamma)} T^{(\sigma)\alpha} - \sum_{\delta'} T_{\beta\delta'}^{(\epsilon)\alpha} db^{(\delta\gamma)}$$

$$\text{on a donc } X_{\alpha\sigma; \alpha'\beta'} = - \sum_{\beta, \gamma} (db^{(\beta\gamma)})_{\alpha\sigma} \left(db^{(\beta\gamma)} T^{(\sigma)\alpha} T^{(\sigma)\alpha} \right)_{\alpha'\beta'}$$

$$+ \sum_{\beta, \gamma} (db^{(\beta\gamma)})_{\alpha\sigma} \sum_{\delta'} T_{\beta\delta'}^{(\epsilon)\alpha} (db^{(\delta\gamma)} T^{(\sigma)\alpha})_{\alpha'\beta'}$$

On utilise à nouveau l'identité (7) sous la forme

$$db^{(\beta\gamma)} T^{(\sigma)\alpha} = T^{(\epsilon)\alpha} db^{(\beta\gamma)} + \sum_{\delta''} T_{\beta\delta''}^{(\sigma)\alpha} db^{(\beta\delta'')}$$

ce qui donne

$$X_{\alpha\sigma; \alpha'\beta'} = C_{\sigma} (db^{(\beta\gamma)})_{\alpha\sigma} (db^{(\beta\gamma)})_{\alpha'\beta'} + \sum_{\beta, \gamma} (db^{(\beta\gamma)})_{\alpha\sigma} \left[T^{(\epsilon)\alpha} \sum_{\delta'} T_{\beta\delta'}^{(\sigma)\alpha} db^{(\beta\delta')} \right]_{\alpha'\beta'} - C_{\sigma} (db^{(\beta\gamma)})_{\alpha\sigma} (db^{(\beta\gamma)})_{\alpha'\beta'}$$

$$X_{\alpha\beta; \alpha'\beta'} = - \sum_{\beta\delta} (db^{(\beta\delta)})_{\alpha\beta} \left(T^{(\epsilon)\alpha} db^{(\beta\gamma)} T^{(\sigma)\alpha} \right)_{\alpha'\beta'}$$

peut aussi s'écrire, en utilisant (7) sous la forme

$$db^{(\beta\gamma)} T^{(\sigma)\alpha} = T^{(\epsilon)\alpha} db^{(\beta\gamma)} + \sum_{\delta} T_{\delta\delta'}^{(\sigma)\alpha} db^{(\beta\delta')}$$

$$X_{\alpha\beta; \alpha'\beta'} = - \sum_{\beta\delta} (db^{(\beta\delta)})_{\alpha\beta} \left[T^{(\epsilon)\alpha} \sum_{\delta'} T_{\delta\delta'}^{(\sigma)\alpha} db^{(\beta\delta')} \right]_{\alpha'\beta'}$$

$$= - \sum_{\beta\delta} (db^{(\beta\delta)})_{\alpha\beta} \left[T^{(\epsilon)\alpha} T^{(\sigma)\alpha} db^{(\beta\delta)} \right]_{\alpha'\beta'}$$

$$= - \sum_{\beta\delta} (db^{(\beta\delta)})_{\alpha\beta} \left(T^{(\epsilon)\alpha} \sum_{\delta'} T_{\delta\delta'}^{(\sigma)\alpha} db^{(\beta\delta')} \right)_{\alpha'\beta'} + C_e (db^{(\beta\delta)})_{\alpha\beta} (db^{(\beta\delta)})_{\alpha'\beta'}$$

On a donc $X_{\alpha\beta; \alpha'\beta'} = \frac{1}{2} [X_{\alpha\beta; \alpha'\beta'} + X_{\alpha\beta; \alpha'\beta'}]$

$$= \frac{1}{2} \sum_{\beta\delta} (C_e + C_\sigma - C_\rho) (db^{(\beta\delta)})_{\alpha\beta} (db^{(\beta\delta)})_{\alpha'\beta'} \quad \text{c.f.d.}$$

5) Considérons le cas particulier de $SUC(2)$:

$$C_e = s_i(s_i + 1) \quad \text{pour } e = \text{rep. de spin } s_i$$

$$C_\sigma = s_i(s_i + 1) \quad \text{pour } \sigma = \text{rep. de spin } s_i$$

$$C_\rho = s(s + 1) \quad \text{avec } |s_i - s_j| \leq s \leq s_i + s_j$$

* Le cas $s_i = s_j = 0$ donne $C_e + C_\sigma - C_\rho = 0$

* supposons que $s_i > 0$. Sans perte de généralité, on peut se restreindre au cas $s_i \geq s_j$.

$$C_{s_i + s_j} = (s_i + s_j + 1)(s_i + s_j) = s_i^2 + 2s_i s_j + s_j^2 + s_i s_j$$

$$C_{s_i} + C_{s_j} = s_i(s_i + 1) + s_j(s_j + 1) = s_i^2 + s_i + s_j^2 + s_j$$

$$\text{donc } -C_{s_i + s_j} + C_{s_i} + C_{s_j} = -2s_i s_j < 0$$

Plus précisément, $C_{s_i} + C_{s_j} - C_{s_i + s_j}$ décroît d'une valeur positive à une valeur négative quand s_j croît.

preuve:

Considérons $X(p) = -C_{s_i + s_j} + C_{s_i} + C_{s_j}$ avec $p \in \{0, \dots, 2s_j\}$, i.e. $X(p) = s_i(s_i + 1) + s_j(s_j + 1) - (s_i - s_j + p)(s_i - s_j + p + 1)$

p	0	$2s_j$
s_j	$s_i - s_j$	$s_i + s_j$
$\frac{dx}{dp}$	-	-
X	> 0	< 0

$$X(0) = 2s_j(s_i + 1) > 0$$

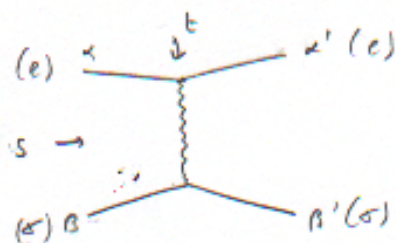
$$\frac{dx}{dp} = -2p + 2(s_i - s_j) - 1$$

$$= -p^2 + p[2(s_j - s_i) - 1] + 2s_j(s_i + 1)$$

$$\left. \frac{dx}{dp} \right|_{s_i - s_j} = -4(s_i - s_j) - 1 < 0$$

$$\left. \frac{dx}{dp} \right|_{s_i + s_j} = -2s_j - 1 < 0$$

Considérons l'amplitude élastique de diffusion de deux particules appartenant aux représentations ρ et σ du groupe G . La contribution d'ordre le plus bas en perturbation correspond à l'échange d'un champ vectoriel de la représentation \mathcal{T} de G .



Le Lagrangien correspondant s'écrit, pour la partie concernant le terme d'interaction

$$\mathcal{L} = \frac{1}{2} (\mathcal{D}_\mu^{(\rho)} \phi^{(\rho)}) (\mathcal{D}^{(\rho)\mu} \phi^{(\rho)}) + \frac{1}{2} (\mathcal{D}_\mu^{(\sigma)} \phi^{(\sigma)}) (\mathcal{D}^{(\sigma)\mu} \phi^{(\sigma)}) - \frac{1}{2} m_\phi^2 \phi^{(\rho)\mu} \phi^{(\rho)\mu} - \frac{1}{2} m_\phi^2 \phi^{(\sigma)\mu} \phi^{(\sigma)\mu} + \frac{1}{2} A_\mu^{\rho\sigma} A_\mu^{\sigma\rho} - \frac{1}{2} (A_\mu)^2$$

avec la dérivée covariante

$$\begin{cases} \mathcal{D}^{(\rho)\mu} = \partial^\mu - g A_\nu^{\rho\sigma} T^{(\rho)\sigma\mu} \\ \mathcal{D}^{(\sigma)\mu} = \partial^\mu - g A_\nu^{\sigma\rho} T^{(\sigma)\rho\mu} \end{cases}$$

$\frac{1}{2} A_\mu^{\rho\sigma} A_\mu^{\sigma\rho} - \frac{1}{2} (A_\mu)^2$
 brosure de l'invariance de jauge
 Modèle de Sakurai

Les règles de Feynman s'obtiennent aisément à l'aide du théorème de Wick sur les intégrales gaussiennes:

$$\langle 0 | T \phi^{(\rho)}(x) \phi^{(\rho)}(y) | 0 \rangle = \int \frac{d^4 k}{(2\pi)^4} e^{-ik(x-y)} \frac{i}{k^2 - m_\phi^2 + i\epsilon}$$

(idem pour σ)

$$\langle 0 | T A_\mu^{\rho\sigma}(x) A_\nu^{\sigma\rho}(y) | 0 \rangle = \int \frac{d^4 k}{(2\pi)^4} e^{-ik(x-y)} \frac{-i}{k^2 - m^2 + i\epsilon} \delta_{\mu\nu} \delta^{\rho\sigma}$$

term de vertex: $(\rho) \xrightarrow{p} \xleftarrow{p'} (\rho) \quad \frac{1}{2} i \partial^\mu \phi^{(\rho)} (-g) A_\nu^{\rho\sigma} T^{(\rho)\sigma\mu} \phi^{(\rho)}$

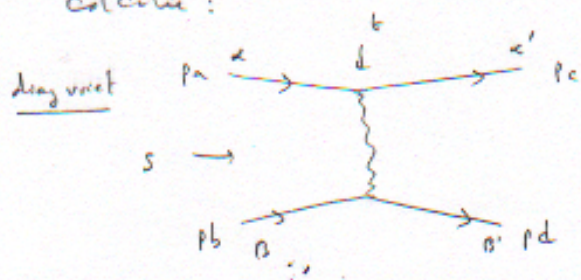
$$i \frac{g}{2} [\partial^\mu \phi^{(\rho)}(x) A_{\mu\nu}^{\rho\sigma}(x) T_{\sigma\rho}^{\mu\nu} \phi^{(\rho)}(x) + T_{\mu\nu} \phi^{(\rho)}(x) A_{\mu\nu}^{\rho\sigma}(x) \partial^\mu \phi^{(\rho)}(x)]$$

La contribution du vertex correspondant s'obtient en sommant sur toutes les contractions possibles avec trois champs $\phi(x), \phi(y), A_\mu(z)$, ce qui donne en représentation

d'impulsion $i(g) \frac{1}{2} [(+ip^\mu) - (-ip'^\mu)] T_{\mu\nu}^{\rho\sigma} = -g(k^\mu + p'^\mu) T_{\mu\nu}^{\rho\sigma}$ (le facteur 2 vient du nombre de contractions possibles)

($p^\mu = ip'^\mu$)
 antisymétrique de T

La contribution d'ordre le plus bas en perturbation peut maintenant être calculée :



$$s = (p_a + p_b)^2 = (p_c + p_d)^2$$

$$t = (p_a - p_c)^2 = (p_b - p_d)^2$$

$$u = (p_a - p_d)^2 = (p_b - p_c)^2$$

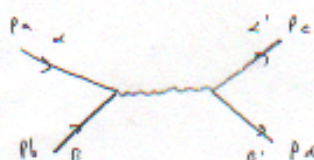
Les règles de Feynman permettent de calculer iT , donc à l'ordre le plus bas on a

$$iT = \frac{-i}{t-m^2} g^2 (p_a + p_c) \cdot (p_b + p_d) T_{a'a'}^{(e)a} T_{b'b'}^{(e)a}$$

$$(p_a + p_c) \cdot (p_b + p_d) = (p_a + p_b + p_c - p_b) \cdot (p_a + p_b + p_d - p_a) = s + (p_a + p_b) \cdot (p_d - p_a) + (p_a + p_b) \cdot (p_c - p_b) - u = s - u$$

donc $iT_{11} = ig^2 \frac{s-u}{m^2-t} \sum_a T_{a'a'}^{(e)a} T_{b'b'}^{(e)a}$

deux voies (dans le cas où $e = \sigma$)



$$\frac{-i}{s-m^2} g^2 (p_a - p_b) \cdot (-p_c + p_d) \sum_a T_{a'a'}^{(e)a} T_{b'b'}^{(e)a}$$

$(p_a - p_b) \cdot (-p_c + p_d)$ s'obtient en faisant $p_c \leftrightarrow -p_b$ dans $s-u$ ci-dessus.

$$s = (p_c + p_d)^2 \rightarrow (-p_b + p_d)^2 = t$$

$$u = (p_b - p_c)^2 \text{ est invariant}$$

d'où le résultat: $iT_{12} = ig^2 \frac{t-u}{m^2-s} \sum_a T_{a'a'}^{(e)a} T_{b'b'}^{(e)a}$

deux voies (dans le cas où $e = \sigma$)



$$\frac{-i}{u-m^2} g^2 (p_a + p_d) \cdot (p_b + p_c) \sum_a T_{a'a'}^{(e)a} T_{b'b'}^{(e)a}$$

$(p_a + p_d) \cdot (p_b + p_c)$ s'obtient de $s-u$ en faisant $p_c \leftrightarrow p_b$; s'invariant
 $u \leftrightarrow t$ d'où $iT_{13} = ig^2 \frac{s-t}{m^2-u} \sum_a T_{a'a'}^{(e)a} T_{b'b'}^{(e)a}$

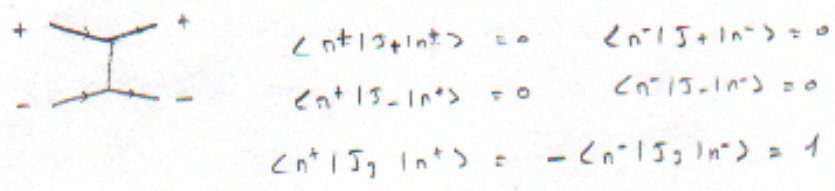
Application: cas de sources et diffusion non (cas pour $\epsilon = 1$) T : matrices de représentation d'isospins de SU(2)

terme de couplage: $\sum_a T^{(e)a} T^{(e)a} = - \sum_a J_3^{(e)a} J_3^{(e)a}$

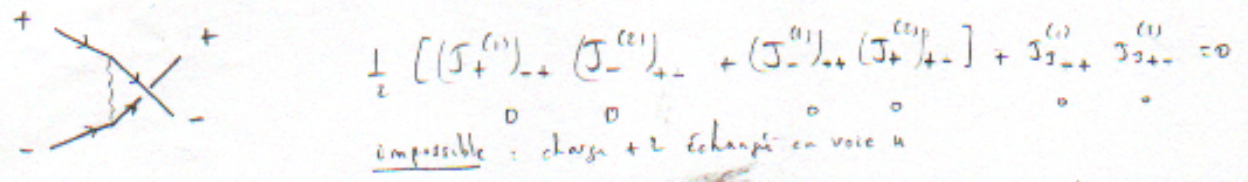
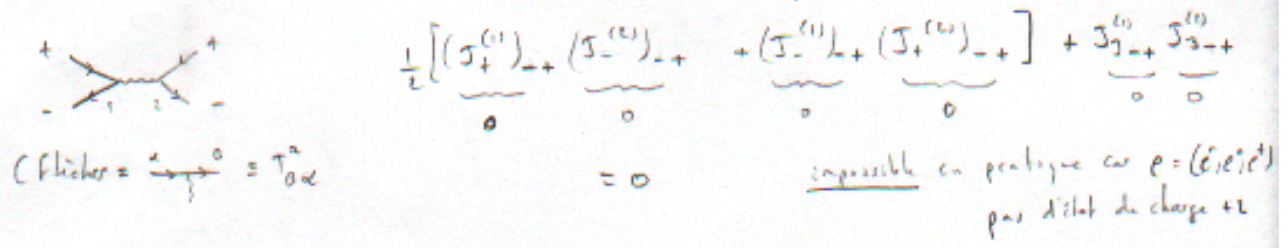
$J_{\pm} = J_1 \pm i J_2$ $J_3 = \frac{1}{2} (J_+ - J_-)$
 $J_2 = \frac{1}{2i} (J_+ + J_-)$

$\sum_a J_3^{(e)a} J_3^{(e)a} = \frac{1}{4} (J_+^{(e)} + J_-^{(e)}) (J_+^{(e)} + J_-^{(e)}) - \frac{1}{4} (J_+^{(e)} - J_-^{(e)}) (J_+^{(e)} - J_-^{(e)}) + J_3^{(e)} J_3^{(e)}$
 $= \frac{1}{2} (J_+^{(e)} J_-^{(e)} + J_-^{(e)} J_+^{(e)}) + J_3^{(e)} J_3^{(e)}$

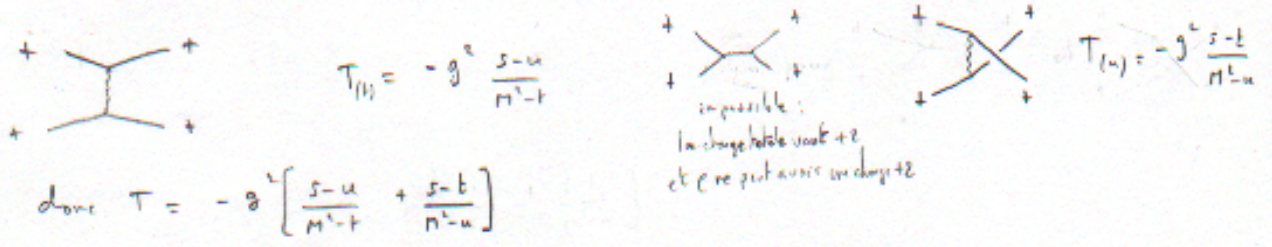
* cas d'isospins anti-parallèles: $n^+ n^- \rightarrow n^+ n^-$ (second membre par conservation de J_3)



La contribution de ce diagramme est donc $T_{10} = +g^2 \frac{s-u}{M^2-t}$



* cas d'isospins parallèles: $n^+ n^+ \rightarrow n^+ n^+$ (second membre par conservation de J_3)



rappel: seuil de voie s: $s \geq 4m^2$
 $u = -\frac{s-4m^2}{t} (1 + \cos\theta^*) < 0$
 $t = -\frac{s-4m^2}{2} (1 - \cos\theta^*) < 0$

θ^* angle de diffusion (c.e. en voie s) dans le c.m.
 diffusion arrière: $\theta^* \sim \pi$ u petit
 diffusion avant: $\theta^* \sim 0$ t petit

Considérons la limite de basse énergie :

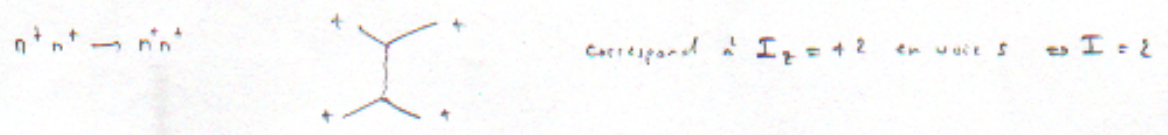
$\langle V | \tau | V \rangle = -iV \epsilon \delta(E' - E)$ (rapport: $L = L_{\text{can.}} - V$)
 ↗ potentiel non relativiste

Dans cette limite $|H, S - 4\pi^2, \text{tail}| \ll 4\pi^2$

* $n^+ n^- \rightarrow n^+ n^-$: $T = g^4 \frac{s-u}{t^2} > 0$ donc $V < 0$: potentiel attractif

* $n^+ n^+ \rightarrow n^+ n^+$: $T = -g^4 \left[\frac{s-u}{t^2} + \frac{s-t}{u^2} \right] < 0$
 $\sim -\frac{g^4}{t^2} [s-u + s-t] < 0$
potentiel répulsif

Ceci est en accord avec l'étude faite plus haut :



idem pour le diagramme correspondant à la contribution en voie u.

Or $X_{++; ++} = \frac{1}{2} (C_1 + C_1 - C_2) (d\mathbb{b}^{I_2})_{++} (d\mathbb{b}^{I_2})_{++} = \frac{1}{2} (C_1 + C_1 - C_2) \underbrace{(d\mathbb{b}^{I_2})_{++}^2}_{< 0}$

et $T = g^4 X_{++; ++} \left[\frac{s-u}{t^2} + \frac{s-t}{u^2} \right]$

Plus généralement, une diffusion entre deux particules d'isospin s_1 et s_2 avec isospin total maximal donnera lieu à un potentiel répulsif.

exemple: $n^+ k^+ \rightarrow n^+ k^+$ ($I = 3/2$)
 $n^- k^0 \rightarrow n^- k^0$

Extension: les résultats de la question 5 s'étendent en utilisant la formule de Weyl $C_2(\Lambda) = \langle \Lambda, \Lambda + 2e \rangle$ avec $e = \sum_j \Lambda_j$. Considérer alors, pour les représentations de plus haut poids Λ_1 et Λ_2 , la représentation dont $\Lambda_1 + \Lambda_2$ est le plus haut poids. On a alors $\langle \Lambda_1 + \Lambda_2, \Lambda_1 + \Lambda_2 + 2e \rangle = \langle \Lambda_1, \Lambda_1 + 2e \rangle + \langle \Lambda_2, \Lambda_2 + 2e \rangle + \langle \Lambda_1, \Lambda_2 + 2e \rangle + \langle \Lambda_2, \Lambda_1 + 2e \rangle > 0$ d'où le résultat